

2023—2024 学年度第一学期期中模拟试题（四）

高三地理

2023.11

一. 单项选择题:

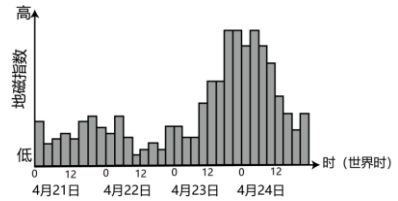
2023年4月21日,太阳爆发超强耀斑,持续时间达1小时,并伴随有日冕物质抛射,引发特大磁暴事件,表征地磁暴强度的地磁指数升高。如图为地磁指数变化图。地磁指数最高时,我国克拉玛依(45.6°N, 84.9°E)漠河(53.0°N, 122.5°E)等地可见极光。读图,完成下面小题。

1. 本次太阳耀斑爆发()

- A. 引发21日出现特大地磁暴
B. 反映太阳大气剧烈变化
C. 造成太阳大气层结构改变
D. 显著提升年太阳辐射量

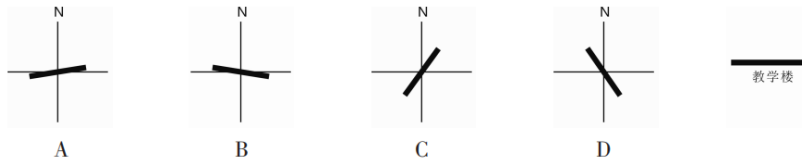
2. 克拉玛依()

- A. 北京时间24日3时可见极光
B. 位于漠河以南,易见极光
C. 可见极光的时间长达15小时
D. 可见极光是由于气温较高



图为2022年3月7日正午江苏某校教学楼走廊照片。此时走廊柱影与南墙面的夹角约为82°,据此完成下面小题。

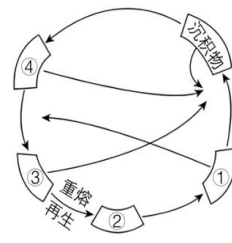
3. 该教学楼的朝向为()



4. 与该日日影现象几乎一致的日期是()

- A. 4月4日 B. 9月9日 C. 10月8日 D. 12月7日

位于陕西省延安市甘泉县的大峡谷,由120条大小不同的裂隙峡谷组成,其主体是白垩纪的红色砂岩和第四纪的黄土。峡谷的彩色崖壁呈现层层波浪般的曲线和曲面(如左图),又被称为“中国梦之谷”。右图为岩石圈物质循环示意图。完成下面小题。



5. 营造甘泉大峡谷曲壁景观的外力作用主要来自()

- A. 海浪 B. 冰川 C. 流水 D. 风力

6. 甘泉大峡谷的主体岩层属于图2中的()

- A. ① B. ② C. ③ D. ④

图为等高线示意图(比例尺1:760)反映我国某地区一种地貌的形成过程,虚线表示被遮挡部分。据此完成下面小题。

7. 现在该地貌的外部形态最接近于()

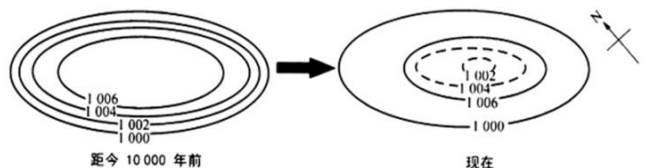
- A. 锥状 B. 洼地状 C. 蘑菇状 D. 柱状

8. 图中箭头最可能代表的地质作用是()

- A. 冰川侵蚀 B. 流水侵蚀 C. 海浪侵蚀 D. 风力侵蚀

9. 该地区自然地理环境特征说法正确的是()

- A. 雪山连绵,冰川广布 B. 降水丰富,河网密布 C. 岬湾相间,坡陡水深 D. 气候干旱,荒漠广布



莲花盆是一种独特的地下喀斯特景观。它是在溶洞的薄层水中由水底向上发育的盆状或圆盘状沉积体(下图)。广西某溶洞数百米长的洞穴中,分布着百余座大小不一的莲花盆,最大的莲花盆直径达9米,据此完成下面小题。



10. 形成莲花盆需要 ()

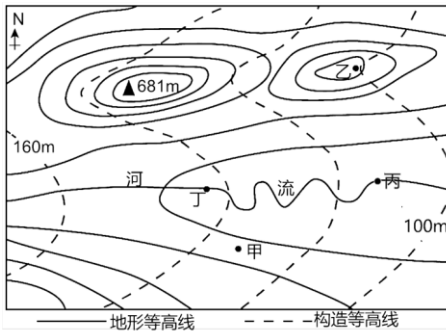
- ①水自洞顶不断滴落 ②水沿洞壁缓慢渗出 ③不断流动的薄层水 ④相对静止的薄层水

- A. ①③ B. ①④ C. ②③ D. ②④

11. 曾经流过该段溶洞的地下河为发育大规模莲花盆群提供的关键条件是 ()

- A. 曲折的河道 B. 平坦的河床 C. 充足的水汽 D. 丰富的泥沙

地质图上,构造等高线是指某一岩层顶部海拔相同点的连线。图示意某区域的白垩纪岩层构造等高线和地形等高线,地形等高线的等高距是50米,山峰最高点海拔为681米,河流丁处有一落差10米的瀑布。据此完成下面小题。



12. 关于该白垩纪岩层时期,地质历史事件表述正确的是 ()

- A. 铁、金等矿藏出现在此时期地层
B. 裸子植物繁盛,是重要成煤时期
C. 海陆多次变迁,形成联合古陆
D. 全球出现数次冷暖交替变化

13. 下列叙述正确的是 ()

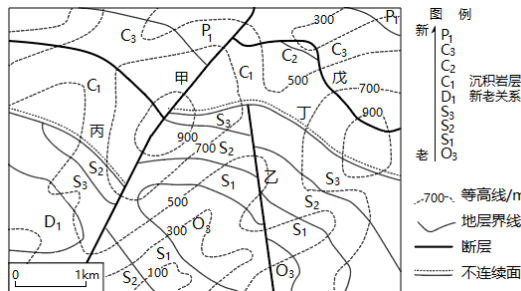
- ①图中河流自东向西流 ②甲处坡面径流流向东北
③若乙处地下含有煤层,开采时不易发生瓦斯爆炸 ④图中河谷为向斜凹陷形成

- A. ①③ B. ①④ C. ②③ D. ②④

14. 图中丙处该岩层顶部的最大埋藏深度可能是 ()

- A. 280m B. 285m C. 290m D. 300m

图为某地经历了三次断层的地质平面图,其中不连续面指被风化和侵蚀的面。据此完成下面小题。



15. 没有经过山谷的断层或不连续面是 ()

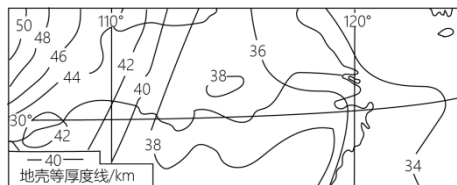
- A. 甲 B. 乙 C. 丙 D. 戊

16. 图中断层甲、乙和不连续面丙、丁形成先后顺序正确的是 ()

- A. 乙丙甲 B. 甲乙丁
C. 甲丙乙 D. 丁乙甲

下图为某地区的地壳等厚度线示意图(单位:千米)。

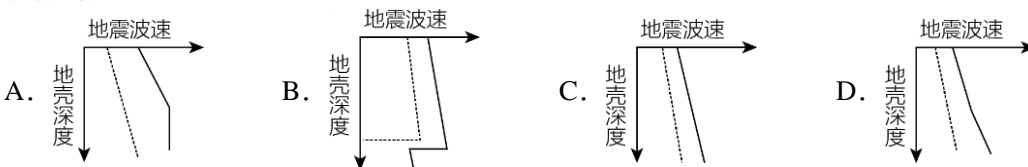
读图,完成下面小题。



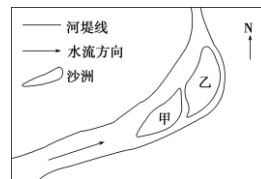
16. 图示区域地壳厚度的总体特征是 ()

- A. 西大东小 B. 南大北小 C. 东北大西南小 D. 东南大西北小

17. 地质工作者通常使用地震波来探测地下石油资源,以下四幅地震波随深度变化图中表示可能有石油的是 ()



江心洲是指河流中的沙洲(岛屿),由心滩不断增大淤高而成。江心洲比心滩稳定,一般是洲头冲刷,洲尾沉积,使江心洲不断下移。下图为长江下游某河段江心洲分布图,据此完成下面小题。



18. 关于图示河段有利于沙洲形成的条件说法正确的是 ()
 ①河道弯曲 ②下游河道狭窄 ③地势低平,流速慢 ④水位季节变化小,侵蚀弱

A. ①②③ B. ①③④ C. ②③④ D. ①②④

19. 除洲头外,甲沙洲受流水侵蚀较强的主要部位及成因分别是 ()

A. 东南侧——河道较窄,流速较快 B. 洲尾处——水流汇集,水量较大
 C. 西南侧——迎水位置,流速较快 D. 西北侧——水量较大,地转偏向力

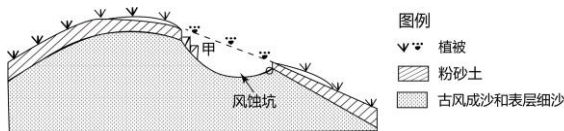
20. 图示两沙洲近年来面积有减小的趋势,主要原因最可能的是 ()

A. 上游修建水库 B. 流域降水量减少 C. 下游植树造林 D. 人们在沙洲上挖沙

风蚀坑是在地表富含沙源沉积物且具有植被覆盖的地区,以风为动力,并受人类活动等作用影响形成的地貌。下图示意青海省某县风蚀坑形状。据此完成下面小题。

21. 与图示风蚀坑形成相关性较小的是 ()

A. 植被破坏严重 B. 坡度较陡
 C. 粉砂土层较薄 D. 风力强劲



22. 甲处物质 ()

A. 逐渐堆积,变得越来厚 B. 加速古风成沙出露地表
 C. 可延缓风蚀坑扩展速度 D. 来源于背风坡的粉砂土

19. 推测图示风蚀坑可能发生的变化有 ()

①坑内出现流动沙丘 ②坑内积水成湖 ③面积不断缩小 ④坑坡度陡缓交替
 A. ①② B. ②③ C. ③④ D. ①④

过去几十年中,北极地表气温升高剧烈,是全球平均增温幅度的2倍以上,被称为“北极放大”。如图为“北极放大”大气驱动机制示意图。读图,完成下面小题。

23. 推测“北极放大”过程中,大气环流的变化趋势是 ()

A. 极地高压增强 B. 极地东风风力减弱
 C. 高纬环流增强 D. 极地高空气压降低

24. 下垫面加热作用增强的主要原因是 ()

A. 反射率减小 B. 蒸发量减少 C. 云量增多 D. 日照时间变长

25. ①的含义最可能为 ()

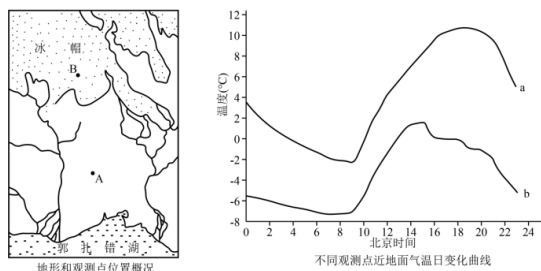
A. 太阳辐射增强 B. 地面辐射增强 C. 大气辐射增强 D. 降水量增加

西昆仑山平均海拔高度5000米以上,这里有8438km²的现代冰川。研究人员夏季对西昆仑山崇侧冰帽区(B)及冰帽末端的非冰雪区(A)不同观测点的气温进行观测,发现B观测站昼夜都存在逆温现象。左图为A、B两观测点的位置示意图,完成下面小题。

26. 据图可判断 ()

A. a线代表非冰雪区,观测点A温日较差大
 B. a线代表冰雪区,观测点B气温日较差小
 C. b线代表非冰雪区,观测点A气温日较差小
 D. b线代表冰雪区,观测点B气温日较差大

27. 该日,b线的温度始终低于a线,是由于 ()



- ①冰面反射的太阳辐射多 ②冰面吸收的太阳辐射多
- ③冰面上空大气逆辐射较弱 ④冰面上空大气逆辐射较强

- A. ①③ B. ①④ C. ②③ D. ②④

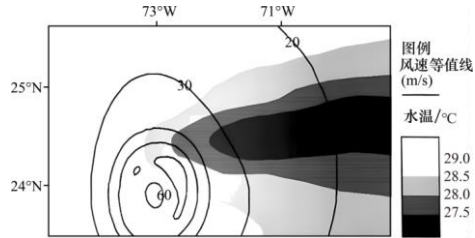
28. 推测 B 观测站最强逆温出现在 ()

- A. 正午时刻 B. 午后 2 点左右 C. 日落前后 D. 日出前后

热带气旋经过某片海域时，后方常出现冷却海区形成冷尾流。据此完成下面小题。

29. 此时 ()

- A. 气旋中心气压高风速大
- B. 冷尾流区域上空降水增加
- C. 气旋呈逆时针辐合上升
- D. 冷尾流有利于新气旋形成



30. 与冷尾流成因密切相关的有 ()

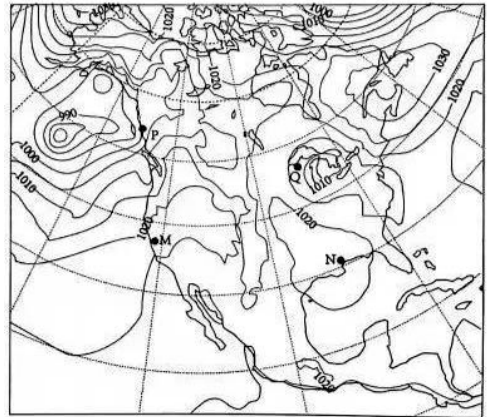
- ①云层变厚，导致地面辐射增强而降温 ②降雨减少，导致大气逆辐射减弱降温
- ③大风拖曳，导致海水上泛扰动而降温 ④海水蒸发，导致损耗热量导致而降温

- A. ①② B. ③④ C. ①③ D. ②④

图为某年 1 月 25 日某区域海平面等压线分布图 (单位：百帕)。据此完成下面小题。

31. 据图可推断 ()

- A. P 地吹偏北风，暖湿气流北上
- B. Q 地吹偏南风，暖湿气流北上
- C. P 地吹偏南风，冷空气南下
- D. Q 地吹偏北风，冷空气南下



32. 此时，图中可能出现降水天气的是 ()

- A. P、Q 两地 B. P、M 两地
- C. Q、N 两地 D. M、N 两地

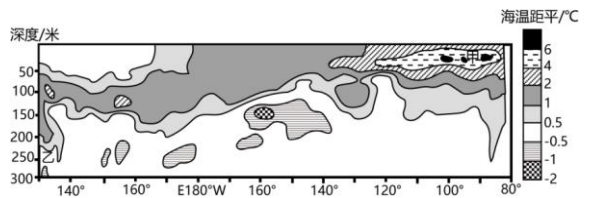
33. 图中四地气温年较差最大的是 ()

- A. P B. Q C. M D. N

图为 2023 年 8 月某时段赤道附近海域海水温度距平的深度-经度剖面图。读图，完成下面小题。

34. 图示海水温度变化可能的影响是 ()

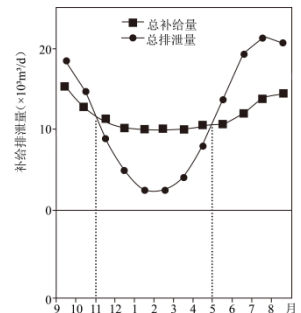
- A. 澳大利亚下沉气流减弱
- B. 太平洋东西水温温差增大
- C. 印度尼西亚降水量减少
- D. 秘鲁渔场的鱼类产量增加



35. 与甲处相比，乙处 ()

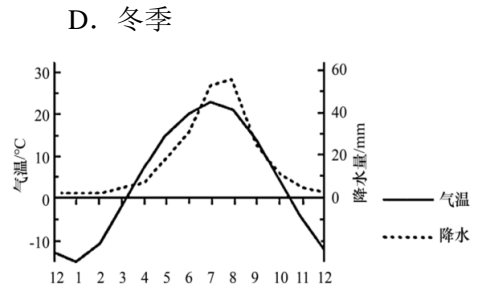
- A. 吸收太阳辐射少 B. 受寒流影响大
- C. 温度变幅大 D. 有结冰期

我国内蒙古巴丹吉林沙漠中分布着众多湖泊，每一个湖泊都形成一套独立的生态系统。其中苏木吉林湖地势低洼，且被周围沙山分水岭圈闭，近年来湖泊面积较稳定。图为“苏木吉林湖区湖泊补给量和排泄量动态曲线图”。据此完成下面小题。



36. 该湖泊的类型和主要补给方式分别是 ()
 A. 咸水湖 冰川融水补给 B. 咸水湖 地下水补给 C. 淡水湖 积雪融水补给 D. 淡水湖 雨水补给
37. 据图推测, 该湖面积最大的季节可能是 ()
 A. 春季 B. 夏季 C. 秋季 D. 冬季
38. 该湖冬季总排泄量较小, 最主要的影响因素是 ()
 A. 下渗 B. 降水 C. 蒸发 D. 径流

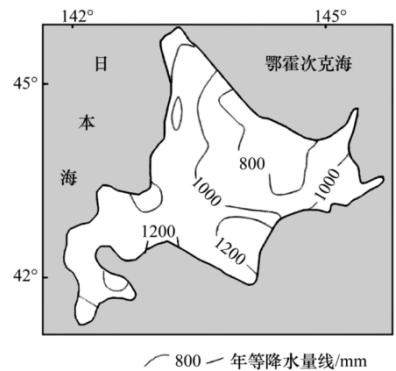
研究者通过比较不同时期地表反射率的差异, 获取我国某区域植被生长状况, 从而了解数十年来该地植被生长季始期与末期的变化。图示意该区域的气候资料。据此完成下列小题。



39. 该区域的植被类型主要是 ()
 A. 落叶阔叶林 B. 针阔混交林 C. 荒漠草原 D. 高山草甸
40. 研究者发现该区域近十年来植被生长季的年际变化较大, 下列说法正确的是 ()
 A. 春季气温偏低, 生长季始期将提前 B. 夏季降水增多, 生长季始期将推迟
 C. 秋季气温偏低, 生长季末期将提前 D. 冬季降水增多, 生长季末期将推迟
41. 该区域土壤突出特点是 ()

- A. 酸性较强 B. 碱性较强 C. 富含有机质 D. 淋溶层厚度大

北海道属于温带季风气候, 年平均气温 8℃, 年降水量 800~1200mm。与日本大部分区域不同, 北海道在夏季几乎未出现梅雨天气。图示意北海道年等降水量线分布。据此完成下面小题。



42. 北海道年等降水量线未与海岸线平行, 主要取决于 ()
 A. 地形 B. 海陆轮廓 C. 洋流 D. 风向
43. 北海道几乎未出现梅雨天气, 主要是因为 ()
 A. 寒流减湿作用 B. 大气对流运动弱
 C. 纬度较高 D. 寒潮活动频繁
44. 北海道东部海域为航行高风险区的最主要原因是 ()
 A. 多地震, 海啸频繁 B. 多海雾, 能见度差 C. 火山活动频繁 D. 海面冰山漂浮

下面是小明暑期参加地理研学时拍摄的两张照片。左图为位于山西省市广灵县境内的一处黄土土柱林景观, 顶部分布有一种特有的灌木——树梅, 枝叶繁茂, 根系发达, 右图为一处华北落叶松景观。通过查询资料可知, 华北落叶松依靠种子传播, 其种子和幼苗在生长发育期需要一定的遮阴条件。低密度落叶松林更新缓慢, 林下草本植被茂密, 不同密度落叶松林下调落物的分解速度存在明显差异。完成下面小题。

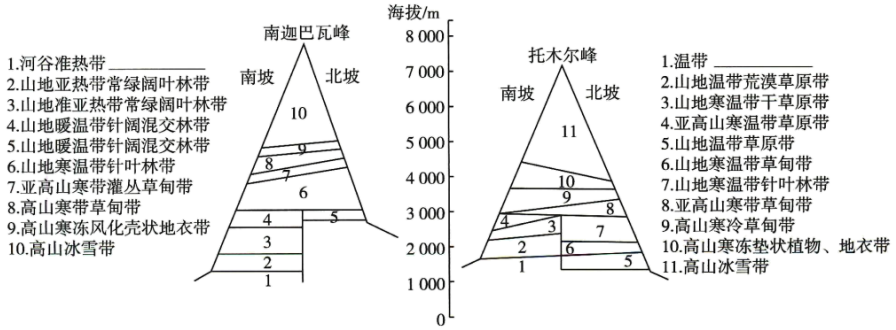
45. 影响树梅分布的主导因素是 ()
 A. 热量 B. 降水 C. 地形 D. 人类活动
46. 低密度落叶松林更新缓慢, 最主要原因是 ()
 A. 光照强, 无遮阴环境 B. 草本植被茂盛, 争夺落叶松幼苗养分
 C. 蒸发强, 林下水分缺乏 D. 植被密度低, 落叶松种子产生数量少
47. 推断不同密度落叶松林下植被凋落物的厚度特征为 ()
 ①低密度林下未分解凋落物占凋落物总量的比例高于高密度林;
 ②高密度林下半分解凋落物占凋落物总量的比例低于低密度林;



- ③低密度林下调落物的总体厚度小于高密度林下调落物的总体厚度；
 ④低密度林下调落物的总体厚度大于高密度林下调落物的总体厚度；

- A. ①③ B. ②③ C. ①④ D. ②④

南迦巴瓦峰（约 30°N，95°E）地处喜马拉雅山脉东端、雅鲁藏布江大拐弯内侧，其南坡水平地带为热带北缘景观。托木尔峰（约 42°N，80°E）位于天山山脉的西端，为天山最高峰，其南北坡水平地带均处于温带范围内。两山峰都发育有比较完整的垂直自然带谱（如图）。据此完成下面小题。



48. 南迦巴瓦峰和托木尔峰南坡的基带性质和结构类型分别是（ ）

- ①南迦巴瓦峰南坡基带是以草原为特征的高寒半干旱型结构
 ②南迦巴瓦峰南坡基带是以森林为特征的季风性湿润型结构
 ③托木尔峰南坡基带是以草原为特征的大陆性半干旱型结构
 ④托木尔峰南坡基带是以荒漠为特征的大陆性干旱型结构

- A. ①③ B. ①④ C. ②③ D. ②④

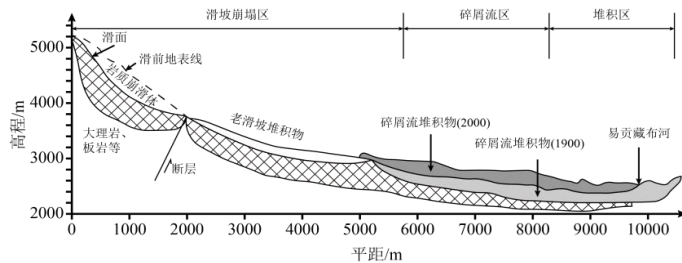
49. 南迦巴瓦峰和托木尔峰北坡针叶林带上限差异较大的主要影响因素是（ ）

- A. 地形 B. 热量 C. 土壤 D. 水分

50. 与托木尔峰北坡基带相比，托木尔峰山地寒温带针叶林带（ ）

- A. 土壤淋溶作用较弱 B. 受人类活动影响大 C. 水分条件比较好 D. 风力侵蚀作用强烈

易贡藏布河位于西藏东南部的林芝地区，两岸滑坡、泥石流沟众多，3500 米高程以上为冰川覆盖。2000 年 4 月 9 日、易贡湖（1900 年形成的泥石流堰塞湖）下游的扎木弄沟内发生巨型山体滑坡，约 3.0 亿立方米的滑坡体冲出沟口堵塞易贡藏布河形成滑坡堰塞坝，使易贡湖的水位急剧上升 60 米。易贡滑坡发生 63 天后坝体溃决，给下游地区造成了巨大经济损失。图示意易贡滑坡剖面图，完成下面小题。



51. 推测易贡滑坡的直接诱发因素是（ ）

- A. 地形 B. 地质 C. 植被 D. 水文

52. 易贡滑坡规模巨大的主要原因是（ ）

- ①崩塌区构造运动活跃②堆积区冻融风化作用强③沟内早期松散物质多④纵剖面上缓下陡

- A. ①② B. ③④ C. ①③ D. ②④

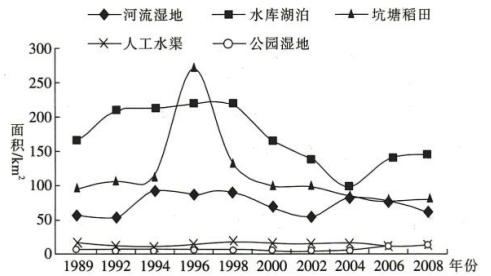
53. 滑坡堰塞坝溃决后易贡湖（ ）

- A. 面积锐减 B. 淤积加厚 C. 水流变缓 D. 生态恢复

读 1989~2008 年北京各类型湿地面积变化图，完成下面小题。

54. 由图可知，1989~2008 年，北京（ ）

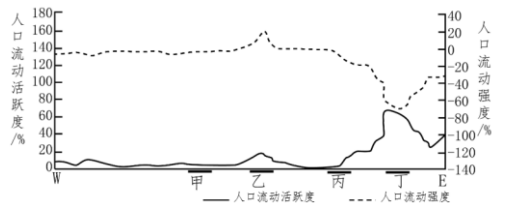
- A. 各类湿地面积都呈波动下降的趋势
- B. 各类湿地中河流湿地面积变化幅度最小
- C. 公园湿地面积始终小于人工水渠湿地
- D. 湿地总面积在 2004 年落入最低谷



55. 1996 年以后，北京坑塘稻田湿地面积不断减少的原因最可能是（ ）

- A. 降水量大幅度减少
 - B. 气候变暖，蒸发加剧
 - C. 城市化的推进，城市用水量增大
 - D. 大面积退耕还林、还草
56. 农田水分盈亏量指年降水量与农田作物用水量之差，农田作物用水量受作物品种、耕作制度等因素影响，北京的农田水分以亏损为主，我国东南地区的农田以盈余为主。其主要原因是（ ）
- A. 北京一年三熟
 - B. 北方地区蒸发量较大
 - C. 降水量的差异
 - D. 南方地区节水技术高

L 县地处青藏高原向云贵高原的过渡地带，山区面积达 95.5%，辖 103 个村（含 6 个居委会）以纳西族为主体多民族聚居。2015 年该县户籍人口为 23.78 万人，常住人口为 22.91 万人，下图示意 L 县自西向东不同区域人口流动状况。完成下面小题。



注：人口流动活跃度 = (流入人口 + 流出人口) / 常住人口

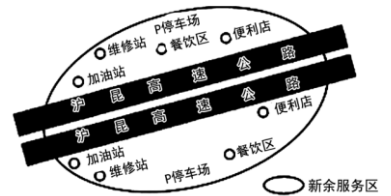
人口流动强度 = (流入人口 - 流出人口) / 常住人口

57. 甲、乙、丙、丁四个县域功能区依次排列正确的是（ ）

- A. 主城近郊区、偏远山区、主城远郊区、主城区
 - B. 主城近郊区、主城区、主城远郊区、偏远山区
 - C. 主城远郊区、偏远山区、主城近郊区、主城区
 - D. 主城远郊区、主城区、主城近郊区、偏远山区
58. L 县村域人口流动活跃度东部显著高于西部，可能是东部（ ）

- A. 旅游业较发达
- B. 经济发展水平较高
- C. 教育医疗设施好
- D. 农业收入有限

高速公路服务区可提供住宿（含停车）、餐饮、加油、汽车维修等服务。M 便利店与加油站合作，将门店开在加油站，依托加油站的良好区位得到了快速发展。M 便利店面积小，商品种类较少，陈列醒目，提供全天候服务。下图示意沪昆高速公路上的新余服务区。读图完成下面小题。



59. 由南昌到长沙的车辆进入该服务区时，可能（ ）

- ① 右侧先经过便利店，再经过加油站
- ② 右侧先经过维修站，再经过便利店
- ③ 从西南方向驶进
- ④ 从东北方向驶进

- A. ①③
- B. ①④
- C. ②③
- D. ②④

60. 对 M 便利店而言，良好区位主要是指（ ）

- A. 租金较低
- B. 交通便利
- C. 周边便利店少
- D. 基础设施完善

门槛人口是指维持一家企业（或商店）生存，能够得到正常利润的最低限度的人口数量，不同行业的服务范围和门槛人口不同。随着电子商务的兴起，电商网购的销售额占社会消费品零售总额的比例逐年递增。完成下面小题。

61. 下列各行业门槛人口最小的是（ ）

- A. 医院
- B. 电影院
- C. 邮局
- D. 社区零售店

62. 在电子商务的冲击下,假设商业实体经营成本不变,其门槛人口和服务范围的变化趋势为()
- A. 门槛人口数量减少,服务范围缩小 B. 门槛人口数量减少,服务范围扩大
C. 门槛人口数量增加,服务范围扩大 D. 门槛人口数量增加,服务范围缩小

随着信息技术的发展,我国物流配送行业竞争日益激烈,低空物流配送正成为一种更高效、更快捷的配送模式,无人机配送技术持续迭代为城市低空物流释放巨大发展潜力。完成下面小题。

- 63.目前城市低空物流产业快速发展,主要得益于
- ①产业结构调整 ②用户消费习惯变化 ③物流基础设施改善 ④人力成本的降低
- A.①② B.①③ C.②③ D.③④

- 64.地理信息技术在无人机低空物流配送领域的应用有
- A.北斗卫星导航系统采集地形数据 B.遥感技术分析飞行气象信息
C.全球定位系统识别并躲避障碍物 D.地理信息系统优化飞行线路

乌克兰东北部,日本西部及一些低纬度热带地区等木屋分布广泛。挪威群山环抱的原野深处分布着一座座古代木屋,全屋由原木搭建而成,底部架空,内部设有桑拿房。桑拿房中央是周边铺满鹅卵石的地坑,蒸桑拿时,用木炭生暗火,铺上鹅卵石,把水泼到石头上,产生水蒸气,让洗浴的人身心得到温暖和放松。图为挪威木屋形态和桑拿室的地坑。据此完成下面小题。

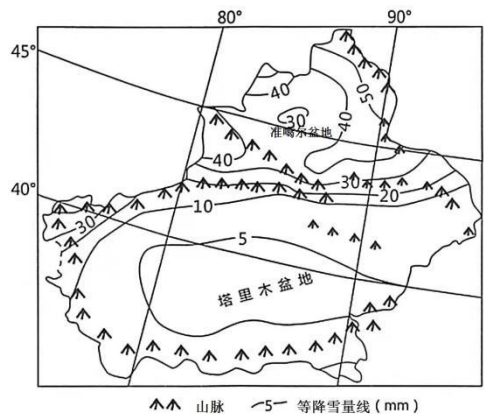


65. 木屋底部架空是为了()
- A. 防潮 B. 增强稳定性 C. 扩展用地 D. 防范野兽
66. 与明火相比,暗火并覆盖鹅卵石的作用是()
- A. 室内增温快 B. 保温时间长 C. 易于调控温度 D. 预防火灾

二. 综合题:

55. 新疆水资源短缺,降雪是其水资源重要的来源之一。图为“新疆降雪量分布示意图”。回答下列问题。(20分)

(1) 简述新疆降雪量空间分布特点。(6分)



(2) 分析塔里木盆地与准噶尔盆地降雪量差异的主要原因。(8分)

(3) 简析准噶尔盆地降雪对当地土壤的有利影响。(6分)